了解更多信息:

www.agilent.com/chem/SP & MP

安捷伦客户服务中心: 免费专线: 800-820-3278 400-600-1063 (手机用户)

联系我们:

Bio.marketing@agilent.com Bio.sales@agilent.com

在线询价:

www.agilent.com/chem/erfq-cn

了解更多安捷伦生物最新资讯 请关注公众号



仅限研究使用。不可用于诊断目的。

本文中的信息、说明和指标如有变更,恕不另行通知。

© 安捷伦科技(中国)有限公司,2019 2019 年 11 月,中国出版





# 多功能实时无标记细胞分析仪

xCELLigence RTCA SP & MP Instrument



## 系统组成

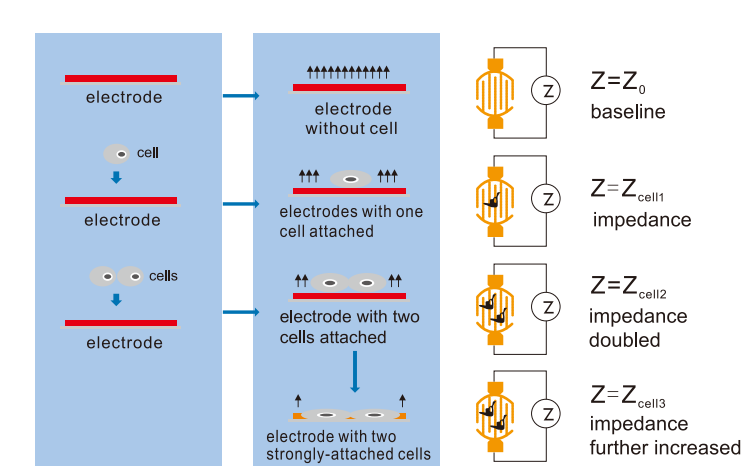


xCELLligence RTCA SP细胞功能分析仪



xCELLligence RTCA MP细胞功能分析仪

## 技术原理



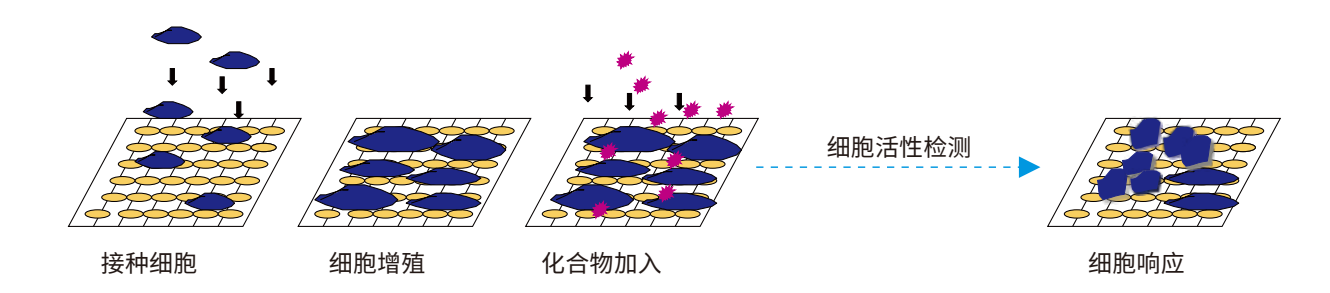
实时无标记动态分析技术 (RTCA, Real Time Cell Analysis) 是安捷伦生物 (原艾森生物) 全球独有的专利核心技术。该技术采用特殊工艺,将微电极列正整合在细胞培养板的每个细胞生长孔底部,用以构建实时、动态、定量跟踪细胞形态和增殖分化改变的细胞阻抗检测传感系统。

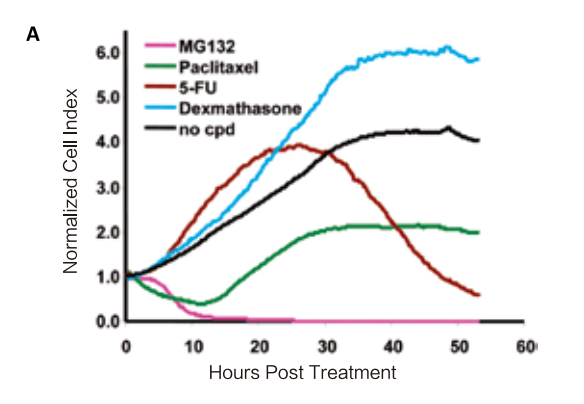
## 技术优势

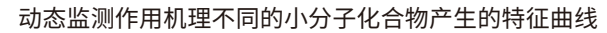
	RTCA	传统终点检测	用户价值
无需标记	$\checkmark$	×	反应细胞生理功能,消除标记物背景效应
实时、动态检测	√	×	提供动态细胞响应的高通量信息
动态信息提供最优检测时间	√	×	便于实验设计与优化
完整细胞效应图谱	√	×	捕捉细胞瞬时及长时效反应
活细胞全程质量监控	√	×	保证实验细胞质量

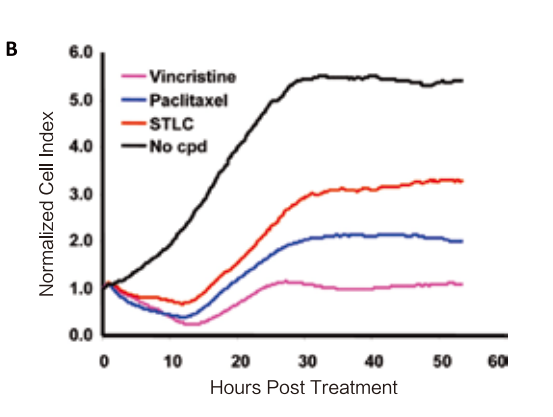
• 药物筛选及小分子化合物机制研究 Drug Screening and Mechanism Studies

动态监测各类小分子化合物引起的细胞效应,作用机理不同的化合物产生特异性的特征曲线,可用于预测未知化合物的作用机理,可应用于高通量药物筛选





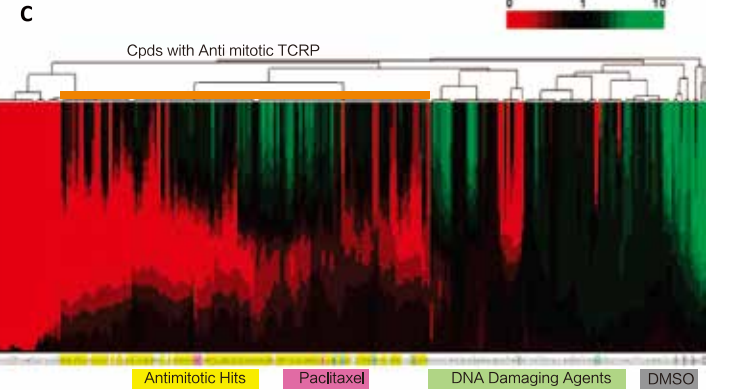


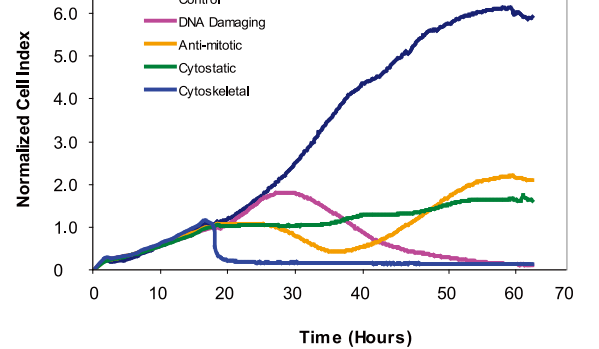


动态监测作用机理类似的小分子化合物产生的特征曲线

7.0

----Control





从119595化合物库中筛选出的抗有丝分裂化合物的聚类分析图谱

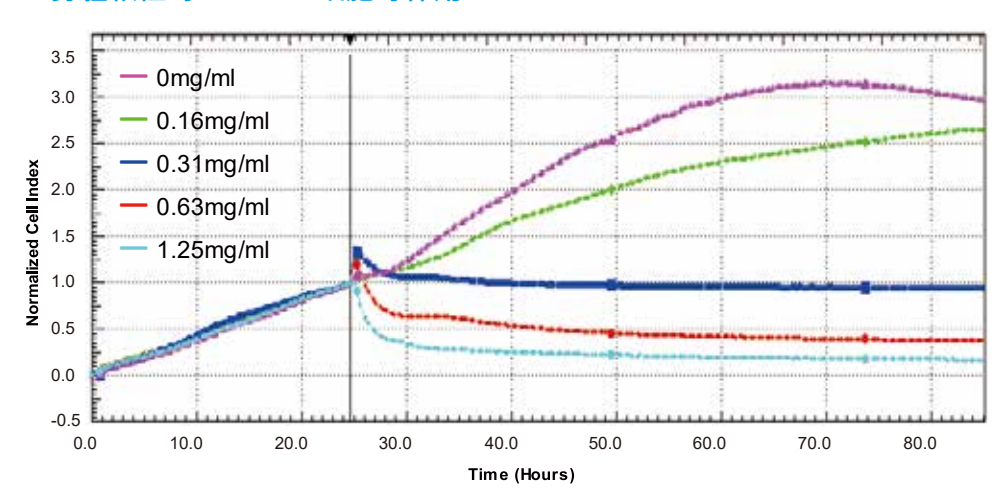
不同生物学机制化合物作用下A549细胞的特征响应曲线

02

## • 环境及材料毒理评价

Environmental & Material Toxicological Assessment

#### 雾霾颗粒对BEAS-2B细胞毒作用

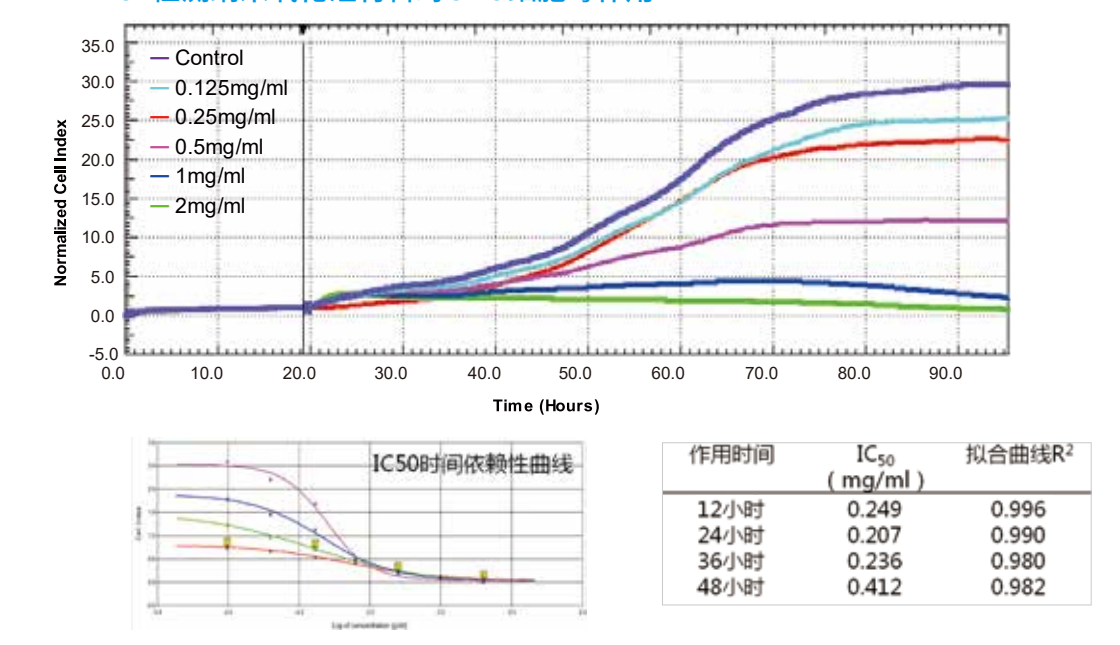


各个雾霾受试浓度均体现对BEAS-2B的细胞毒性,IC50 0.186mg/ml



RTCA技术实时无标记检测空气污染物—雾霾颗粒对人源肺细胞毒作用,并计算任意时间点IC50

### RTCA检测纳米氧化硅材料对CHO细胞毒作用

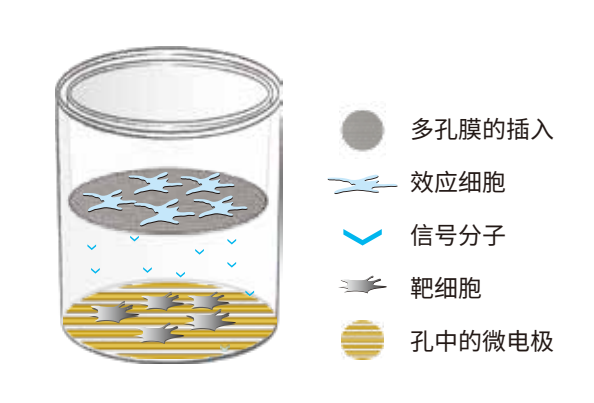


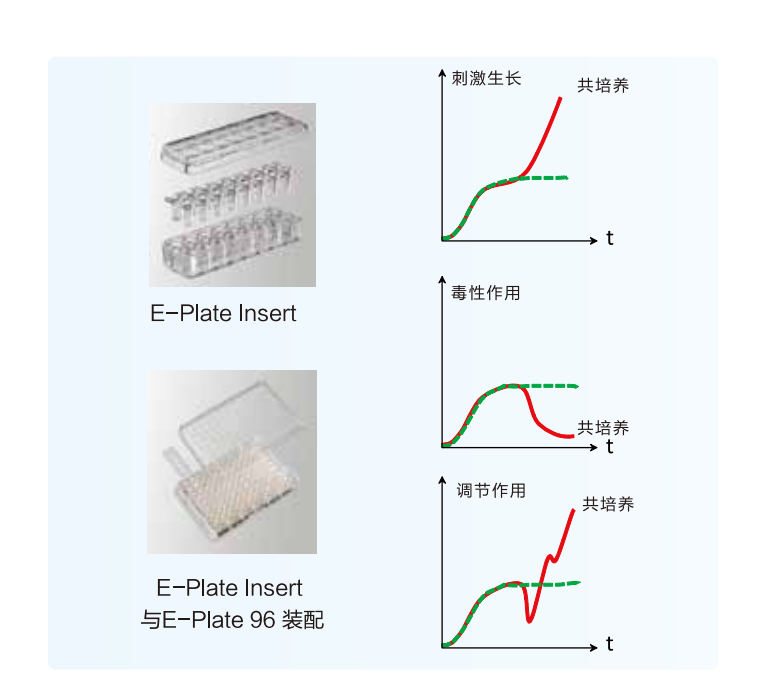
RTCA检测纳米氧化硅材料对CHO细胞毒作用并计算IC50值

# •细胞/微环境间的相互作用(共培养)

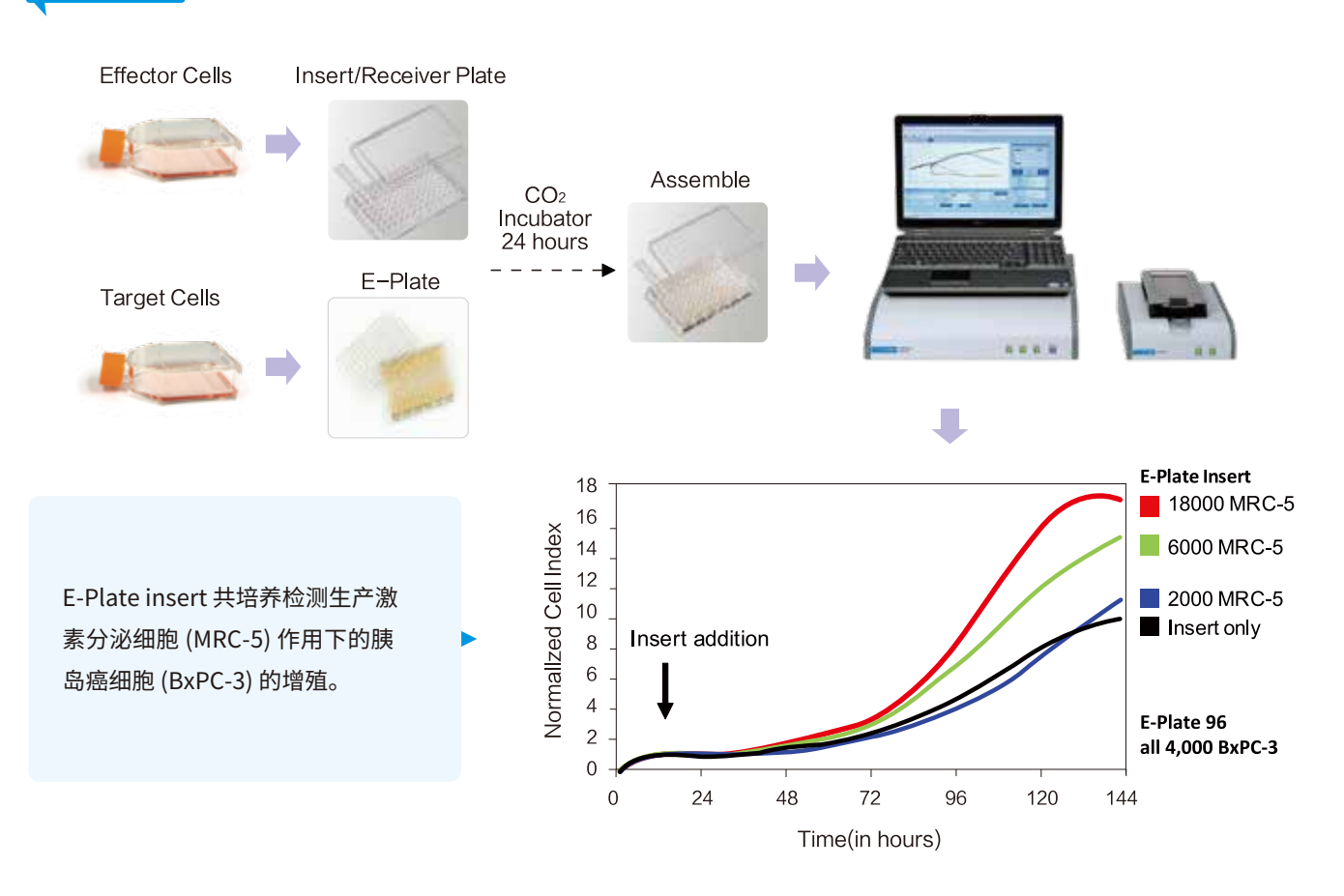
Cell-cell Interactions (Co-Culture)

## 检测原理



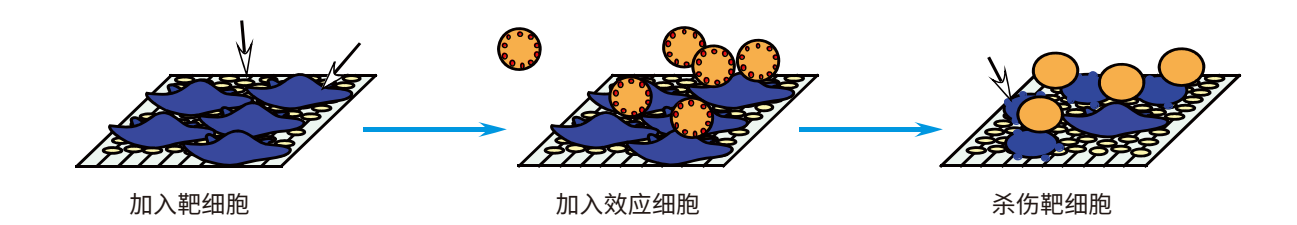


## 检测流程

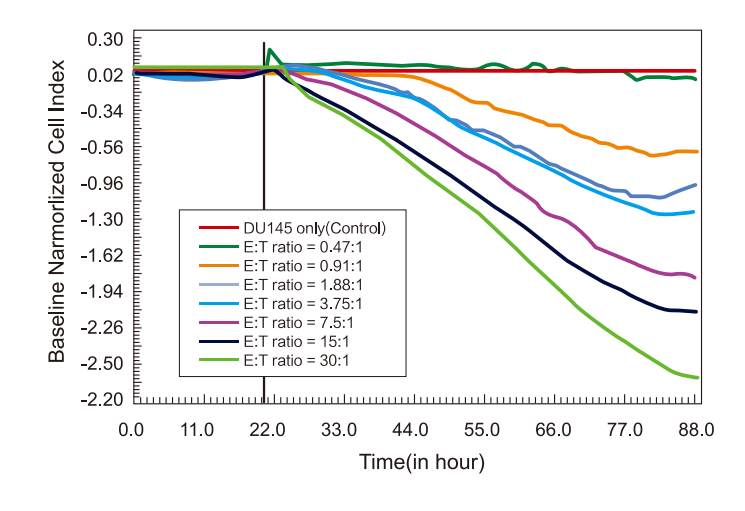


## • 肿瘤细胞免疫

**Cancer Immunity** 



#### 杀伤细胞(NK)介导的细胞毒作用

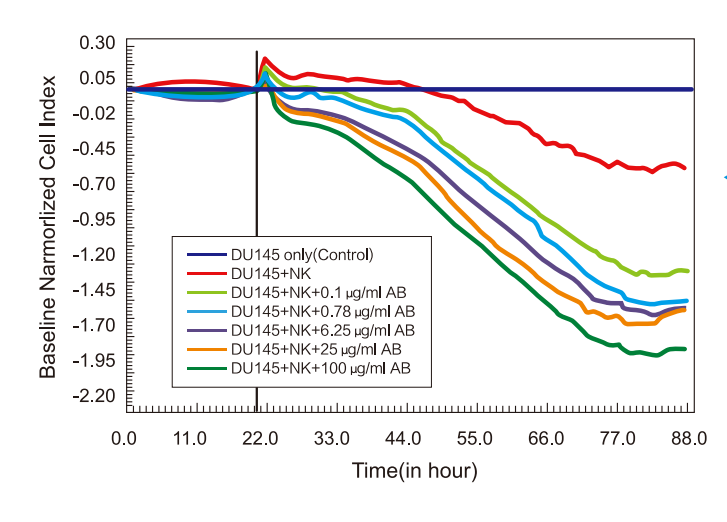


实时动态检测NK-92细胞对DU-145 细胞的杀伤作用

E: NK-92细胞

T: DU-145细胞

#### 抗体依赖性细胞介导的细胞毒作用(ADCC)



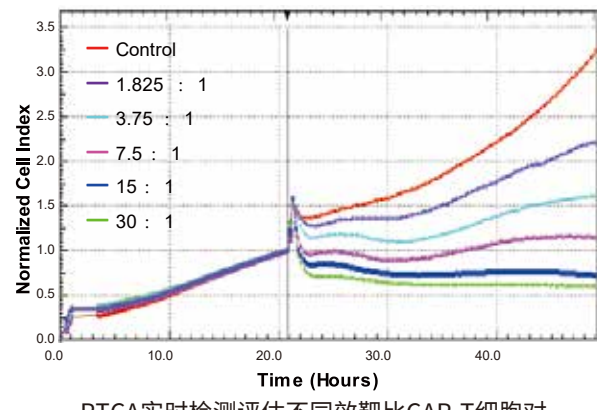
◆ 实时动态检测IGF-1R抗体介导下NK-92 细胞对DU-145细胞的杀伤作用(ADCC)

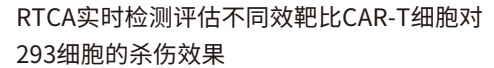
E: NK-92细胞

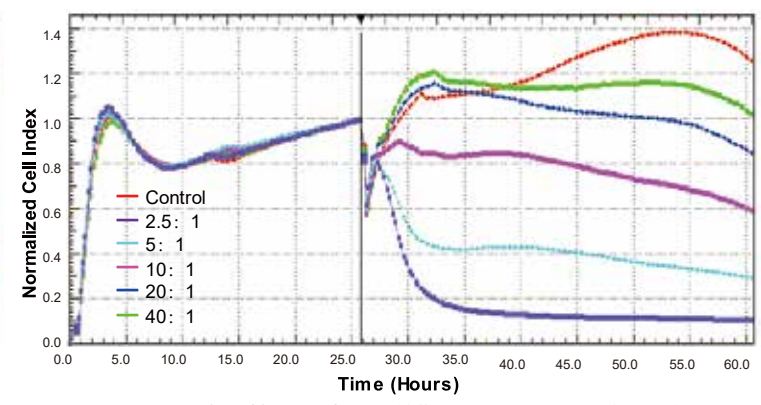
T: DU-145细胞

AB: IGF-1R抗体

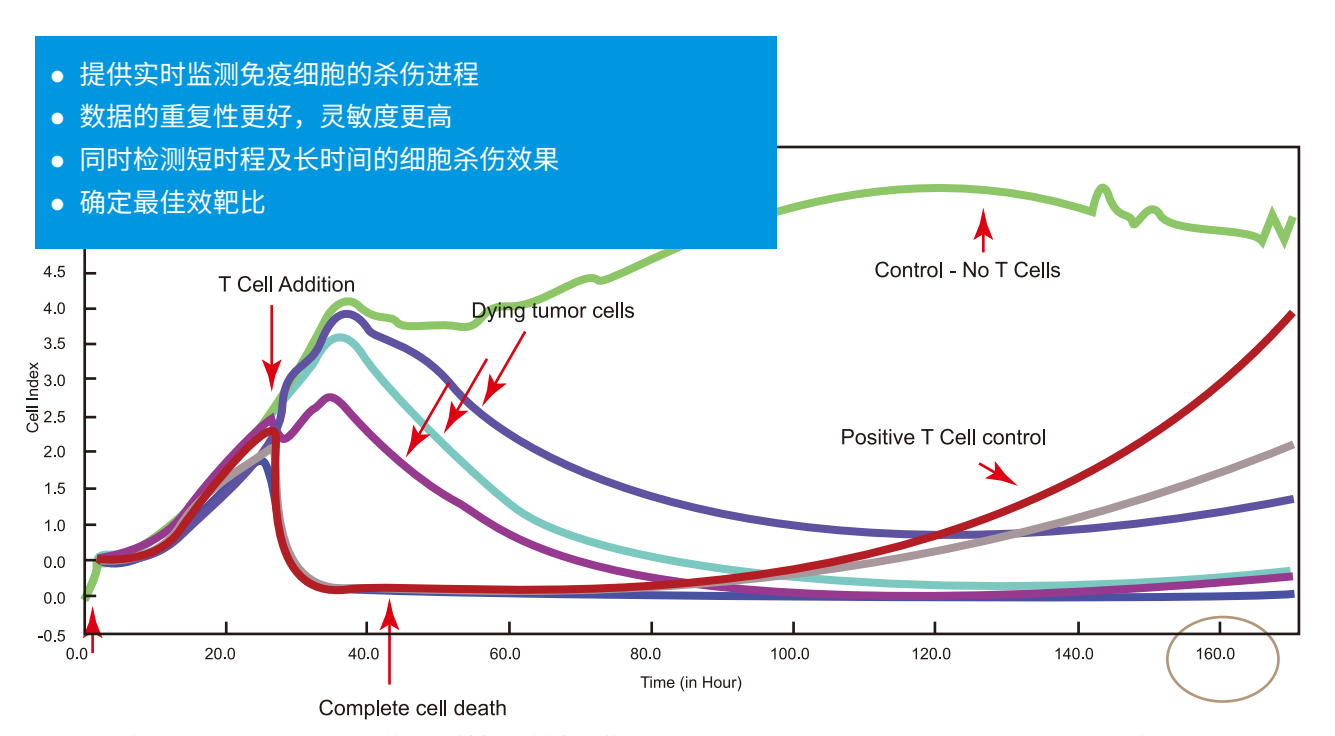
#### 细胞治疗杀伤效果评估







RTCA实时检测评估不同效靶比CAR-T-BCMA细胞对 A549-BCMA细胞的杀伤效果

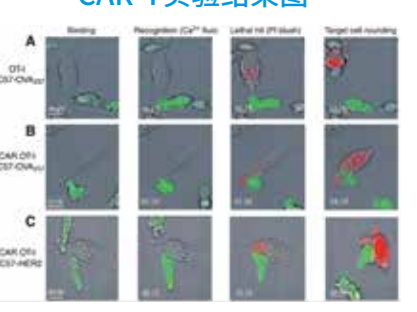


不同的CAR-T细胞体现了不同的杀伤特性,其中一些具有短时程杀伤效果号,但不具备长时程杀伤能力;而同时具备短时程及长时程杀伤效果的CAR-T是研究需要的

#### RTCA技术与影像学结果组成完整肿瘤免疫监测平台

## 

#### CAR-T实验结果图

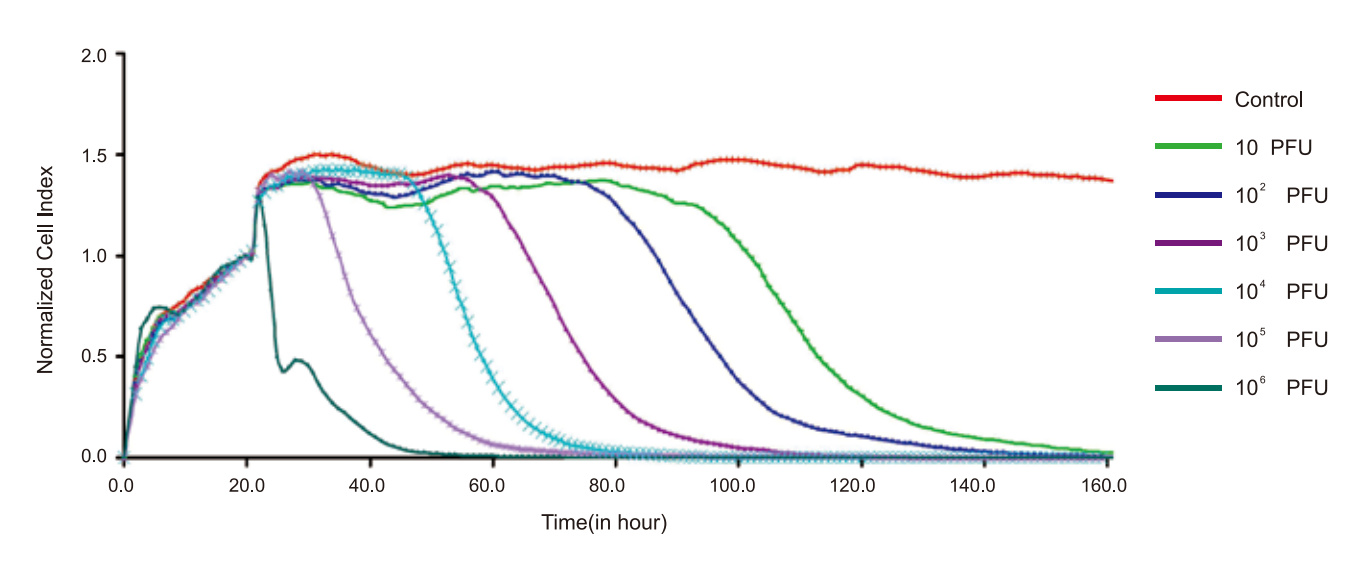


RTCA技术实时评价不同靶向的CAR-T杀伤能力,得到完整杀伤动力学曲线及最佳效靶比,帮助研究者更高效率的进行CAR-T药物研发。同时,RTCA技术可以与影像结果相互佐证,丰富研究手段。

## • 病毒介导的细胞病变

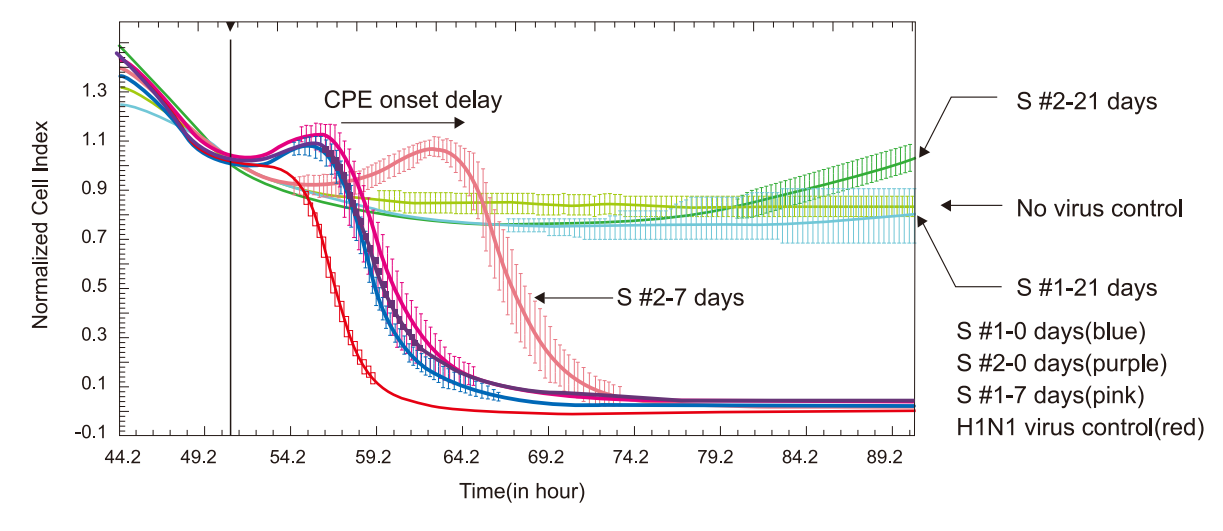
Virus Mediated Cytopathic Effect

#### 病毒介导的细胞病变效应



动态检测不同稀释滴度的西尼罗河病毒对Vero病毒的杀伤作用

#### 病毒中和抗体及抗病毒药物效应监测



动态监测H1N1病毒中和抗体滴定

### 技术优势

- 无需标记,对细胞无损伤,在最接近生理状态下进行检测,结果准确度高
- 自动、连续监测,同时检测短期(数分钟)和长期(数周)细胞效应,获取全过程动态信息
- 交叉式电极设计,确保高精确性和高重复性,提供更大的动态检测范围
- 完整细胞效应图谱,提供大量、重要的动态反应信息,具有重要指导意义
- 活细胞质量控制,真正实现自身对照参考

## 参考文献

#### 药物筛选 (Drug Screening)

- 1. Huiying FU., et al. Kinetic Cellular Phenotypic Profiling: Prediction, Identification, and Analysis of Bioactive Natural Products. Anal. Chem. 2011, 83 6518-6526
- Ning Ke., et al. Screening and Identification of Small Molecule Compounds Perturbing Mitosis Using Time DependentCellular Response Profiles. Anal Chem. 2012, 82, 6495-6503.

#### 细胞增殖 (Cell Proliferation)

- 3. Chapple SJ., et al. Bach1 differentially regulates distinct Nrf2-dependent genes in human venous and coronary arteryendothelial cells adapted to physiological oxygen levels. Free Radic Biol Med. 2016 Mar; 92:152-62.
- 4. Chen QX., et al. A general approach to high-yield biosynthesis of chimeric RNAs bearing various types of functionalsmall RNAs for broad applications. Nucleic Acids Res. 2015 Apr 20; 43(7): 3857-69.

#### 受体激活(Receptor Activation)

- 5. Gagliardi PA., et al. Real-time monitoring of cell protrusion dynamics by impedance responses. Sci Rep. 2015 May 15; 5:10206.
- 6. Birger A., et al. A new impedance based approach to test the activity of recombinant protein--Semaphorins as a testcase. Eur J Cell Biol. 2015 Oct: 94(10): 453-7.

#### 细胞毒性与细胞死亡(Cytotoxicity and Cell Death)

- 7. Ghosh S., et al. Strong poly(ethylene oxide) based gel adhesives via oxime cross-linking. Acta Biomater. 2016 Jan; 29: 206-14.
- 8. Yuksel A., et al. The magnitude of gonadotoxicity of chemotherapy drugs on ovarian follicles and granulosa cells variesdepending upon the category of the drugs and the type of granulosa cells. Hum Reprod. 2015 Dec; 30(12): 2926-35.

#### 免疫学 (Immunology)

- 9. Everson RG., et al. Efficacy of systemic adoptive transfer immunotherapy targeting NY-ESO-1 for glioblastoma. Neuro Oncol. 2016 Mar; 18(3): 368-78
- 10. Schmittnaegel M., et al. Committing Cytomegalovirus-Specific CD8 T Cells to Eliminate Tumor Cells by Bifunctional Major Histocompatibility Class I Antibody Fusion Molecules. Cancer Immunol Res. 2015 Jul; 3(7): 764-76.

#### 病毒介导的细胞病变(Virus Mediated Cytopathic Effect)

- 11. Tian D., et al. Novel, real-time cell analysis for measuring viral cytopathogenesis and the efficady of neutralizing antibodies to the 2009 influenza A (H1N1) virus. PLoS One. 2012; 7: e31965.
- 12. Fender P., et al. Impact of human adenovirus type 3 dodecahedron on host cells and its potential role in viral infection. J Virol. 2012 May; 86: 5380-5.





RTCA SP/MP包括两个组成单元: RTCA SP/MP 信号检测和数据分析单元,以及RTCA SP/MP 系统操作和数据处理单元。RTCASP/MP 信号检测和数据分析单元分别配套有1个和6个E-Plate96检测模块,可根据不同使用者的需要进行独立操作。独具匠心的设计,使得RTCA SP/MP 信号检测和数据分析单元可直接放入CO<sub>2</sub> 孵育箱中,保证了优化的细胞培养条件。

## 产品特点

- > 系统使用操作简单,无需标记,简化实验流程
- ➤ 高通量细胞功能检测,RTCA MP系列包含6个独立E-Plate 96 模板,可同时满足不同研究者的应用需求
- ▶ 快速测量,96孔E-Plate电极板测量速度不超过15S
- ▶ 应用领域广泛,适用于检测贴壁细胞多种效应图谱
- ▶ 高精确性、高信息含量,全程实时自动数据采集

## 产品参数



RTCA分析仪



RTCA SP检测台

尺 寸:  $40.0 \text{cm} \times 40.0 \text{cm} \times 9.0 \text{cm} (W \times D \times H)$ 

重 量: 7.4 kg

电源及功率: 100-240VAC, 50-60Hz, 25W max

测试信号:测试频率10, 25, 50 kHz, 22 mV rms ± 20%, 直流偏置<5 mV

动态范围: 10 Ω-5 kΩ

通 讯: RS232接口(波特率: 57600 bps)

环境温度: +15℃~+30℃; 相对湿度: <80%, 无冷凝

尺 寸:  $21.0 \text{cm} \times 25.7 \text{cm} \times 10.7 \text{cm} (W \times D \times H)$ 

重 量: 3.6kg

电流输入: +5V, -5V; 10W max

通 讯: USB 转RS232接口 (波特率: 57600 bps) 环境温度: +15 ℃ -+40 ℃; 相对湿度: <98%, 无冷凝



RTCA MP检测台



96× E-Plate



E-Plate Insert

尺 寸: 42.0cm × 43.0cm × 18.0cm (W × D × H)

重 量: 3.6kg

电流输入: +5V, -5V; 10W max

配置模块:放置6个独立的96 × E-Plate

通 讯: USB 转RS232接口(波特率: 57600 bps) 环境温度: +15℃-+40℃; 相对湿度: <98%, 无冷凝

尺 寸: 12.77cm  $\times 8.55$ cm  $\times 1.75$ cm (W  $\times$  D  $\times$  H)

孔 间 距: 孔中心距为 9 mm, 符合ANSI/SBS 4-2004标准 孔 容 积: 243  $\mu$ L  $\pm$  5  $\mu$ L

孔底直径: 5.0 mm ± 0.05 mm

材 料:生物相容表面,紫外灭菌

环境温度: +15°C-+40°C; 相对湿度: <98%, 无冷凝

重 量: 3.6kg

电流输入: +5V, -5V; 10W max

通 讯: USB 转RS232接口 (波特率: 57600 bps) 环境温度: +15 ℃ - +40 ℃; 相对湿度: <98%, 无冷凝

尺 寸:  $7.0cm \times 1.7cm \times 1.1cm (W \times D \times H)$ 

孔间距: 孔中心距为 9 mm,符合ANSI/SBS 4-2004标准

孔容积: 95 µL 底面膜孔径: 0.4 µm 底面膜面积: 5.4 mm²

材 料:生物相容表面,紫外灭菌

环境温度: +15°C-+40°C; 相对湿度: ≤98%, 无冷凝